

نموذج السلسلة الزمنية للمعدلات الشهرية لدرجات الحرارة في مدينة سامراء

م.م نهاد شريف خلف الجبوري

م. هبة هاني عبدالله

كلية التربية للبنات / قسم الرياضيات

الخلاصة :

إن هدف البحث هو بناء نموذج تصادي لمعدلات درجات الحرارة لمدينة سامراء لفتره (١٩٨١-١٩٩٣) باستخدام أفضل نماذج بوكس جينكيرز الملائمه . وقد توصل البحث إلى إن السلسلة غير مستقرة وبذلك تم اخذ الفرق الأول بهدف تحقيق الاستقراريه . وكذلك من سلوك معاملات الارتباط الذاتي استنتجنا انه أمكن تحديد و اختيار النموذج الملائم لتمثيل السلسلة حيث كان النموذج الملائم هو نموذج الانحدار الذاتي ذو الأوساط المتحركة المندمج (ARIMA (3,1,2) Auto Regressive integrated Moving Average) . وهو أحد نماذج بوكس جينكيرز واظهر هذا النموذج كفاءة عاليه في جميع الاختبارات كاختبار الارتباط والطبيعة وقابليته على التنبؤ بالقيم المستقبلية لدرجات الحرارة الشهرية لغاية سنة ١٩٩٦ .

Modeling the time series of the mean of monthly temperature in Samraa City

Abstract

In this paper we study the time series for the mean of the monthly temperature during the years 1981-1993. We get the models representing this series is auto regressive integrated moving average (3,1,2), (ARIMA) that is one of Box & Jenkins model. And forecasting for the next three years (till the year 1996) has been reached.

المقدمة:

تعد السلسلة الزمنية من إحدى الطرائق الرياضية والإحصائية التي تفسر طبيعة المتغيرات التي تحدث لظاهرة معينة خلال فترة زمنية محددة ، واهم ما يميز السلسلة الزمنية عن غيرها من الطرائق الإحصائية هو السلوكية التطبيقية وبناء النماذج ثم التحليل والتتبؤ المستقبلي ، ولهذا تستعين غالبية الإدارات عند صياغتها لبرامجها التخطيطية بتطبيقات واسعة للسلسلة الزمنية فضلاً عن ذلك فان هناك التقنية الحديثة والمتقدمة للحسابات الإلكترونية والبرمجيات الجاهزة للسلسلة الزمنية والتي تخطو خطوة واسعة وسريعة في مضمون الزمن . ومن أهم النماذج التي أسهمت إسهاماً فعالاً هي تلك التي وضعها بوكس جينكينز Box-Jenkins عام ١٩٧٠ في دراسة النماذج المختلطة (ARMA) والنماذج الخطية liner models لاحظ (٣) ونماذج غير خطية nonlinear models لاحظ (٤) .

الجانب النظري: [١][٤]

تناول في هذا الجانب مجموعة من نماذج (J-B) الموسمية التي تستخدم السلالس الزمنية للتبؤ للمستقبل وقبل أن ندخل في هذه النماذج سوف نستعرض بعض المفاهيم العامة والتي تفيد في فهم تطبيق هذه النماذج .

للغرض الوصول إلى هدف البحث عولجت البيانات التي تم الحصول عليها باستخدام نماذج بوكس جينكير والتي هي إحدى الأساليب الإحصائية المهمة لتحليل السلسلة الزمنية التي تمثل ظاهرة معينة ولهذه النماذج تطبيقات كثيرة في كافة المجالات ومن أهمها المجالات الاقتصادية والزراعية ولغرض التوضيح ذكر بعض التعريفات المرتبطة بمثل هذا النوع من النماذج .

أولاً : مفاهيم أساسية لنماذج بوكس جينكيرز

- ١- السلسلة الزمنية (Time series) : هي مجموعة من القيم المشاهدة لظاهره معينة في فترات زمنية متساوية .
 - ٢- الموسمية (The seasonality): تعد السلسلة الزمنية سلسلة موسمية اذا كانت تعيد نفسها كل فترة زمنية ثابتة .
 - ٣- الاستقرارية (Stationary) : تعد السلسلة الزمنية مستقرة اذا كان لها وسط حسابي ثابت تتجمع حوله البيانات ، أي خالية من التأثيرات الموسمية وان يكون لها تباين ثابت .
 - ٤- الارتباط الذاتي (Auto correlation) : وهو مقياس الارتباط بين قيم ظاهره معينة في فترات زمنية مختلفة . ويمكن حسابها بالصيغة الآتية :-

ومن ابرز خصائص دالة الارتباط الذاتي

$$1 - \rho_0 = 1$$

$$2 - |\rho| \leq 1$$

$$3-\rho_k = \rho_{-k}$$

Autoregressive model of order

٥ - نموذج الانحدار الذاتي

من النماذج الرياضية الخطية الأساسية للسلالس الزمنية نموذج الانحدار الذاتي Autoregressive model والذي يرمز له بالرمز AR ويمكن كتابته بالصيغة الرياضية الآتية

حيث إن ϕ ϕ_1, ϕ_2, \dots كميات ثابتة تمثل معلمات النموذج وهذا النموذج يعبر عن العلاقة بين حاضر السلسلة الزمنية (X_t) و الماضيها لعدد محدد مؤلف من P من الفترات الزمنية . حيث إن Z_t يمثل حد التشویش أو الإزعاج الأبيض (الإخطاء العشوائية) White noise . لاحظ (٤).

Moving Average Model

٦ - نموذج الأوساط المتحركة

يقال للسلسلة الزمنية (X_t) بأنها نموذج الأوساط المتحركة Moving Average من

الرتبة (q) ويرمز له بـ

(q) إذا تحققت الصيغة الآلية :-

$$x_t = M + \sum_{j=0}^q \phi_j z_{t-j} \dots \dots \dots \dots \dots \dots \quad .4$$

٧- النموذج المختلط للارتباط الذاتي والأوساط المتحرك

The Mixed Auto Regressive Moving Average Model

قد يكون أقرب تعبير عن السلسل الزمنية بنموذج ذو أقل عدد من المعلمات ،

لنمذاج الانحدار الذاتي مع نماذج الأوساط المتحركة هو النموذج الذي يدعى ARMA

- (model) ويُرمز بالرمز ARMA(p,q) ويعبر عنه وفق الصيغة الآتية :-

لاحظ .(٤)

ثانياً : مراحل بناء النموذج

توجد أربع مراحل لغرض بناء نموذج لتمثيل سلسلة زمنية مستقرة وهي :

١- التشخيص (Identification)

حيث يتم تشخيص النموذج وتحديد درجته من خلال دالتي الارتباط الذاتي والارتباط الجزئي

بـ التـقـدـير (Estimation)

بعد تحديد النموذج وتحديد درجته يتم تقدير معالمه وتوجد عدة طرائق لتقدير المعالم أهمها طريقة الاحتمال الأعظم .

ج - تدقيق التشخيص (Diagnostic Checking)

قبل استخدام النموذج لحساب التنبؤات المستقبلية يتم اختباره للتأكد من صحته وكفائه يتم ذلك باستخدام معاملات الارتباط الذاتي للبواقي .

د- التنبؤ (Forecasting)

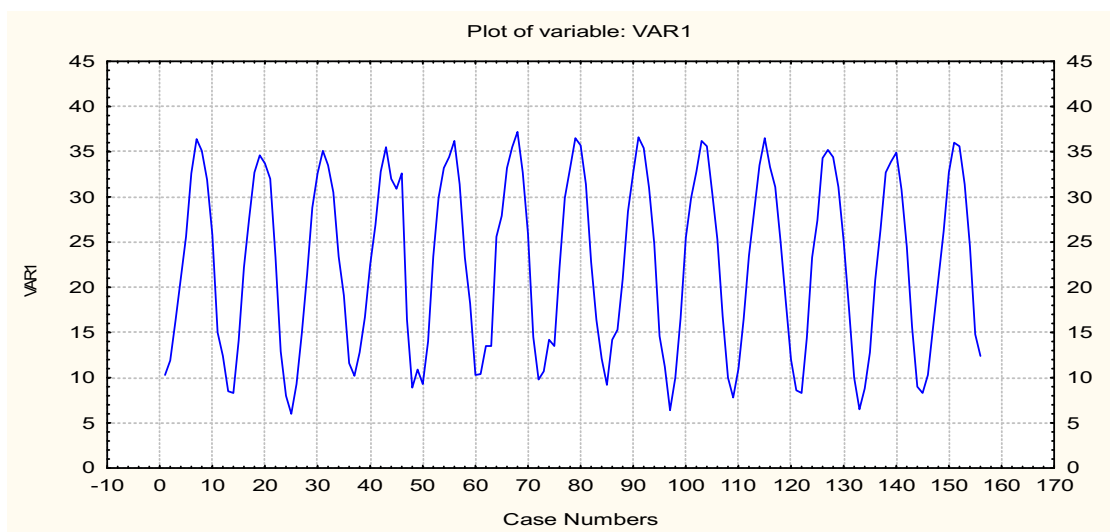
بعد ان يتم تحديد النموذج وتقدير معالمه واختباره لمعرفة مدى ملائمه لتمثيل السلسلة الزمنية تأتي مرحلة للتنبؤ بقيم الظاهرة في المستقبل .

الاطار التطبيقي

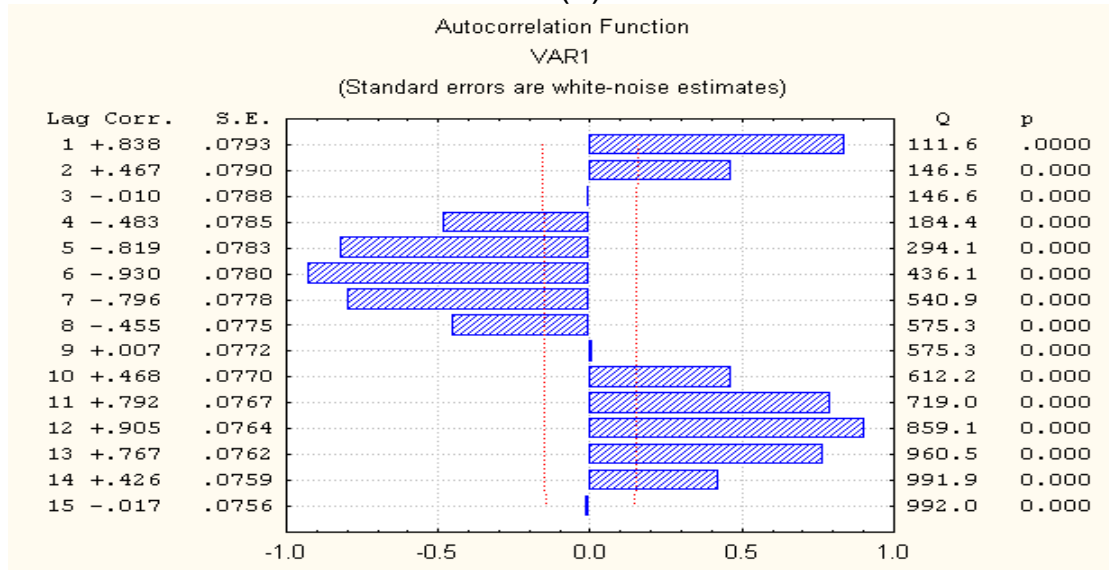
نطرق في هذا الاطار الى اختيار النموذج الملائم للبيانات موضوع البحث باستخدام نماذج بووكس-جينكينز .

لقد تم اختيار محطة سامراء المناخية الشهرية والسنوية لمدة ١٣ سنة من عام (١٩٨١-١٩٩٣) وقد تم الحصول على البيانات من الهيئة العامة للأحوال الجوية للفترة الزمنية (١٩٨١-٢٠٠٢) ومن ملاحظة البيانات نجد ان هناك شهر شديدة الحرارة تصل حرارتها الى (٣٧.٢) درجة مئوية في تموز واشهر معتدلة الحرارة تتراوح بين (٢٠-٢٥) درجة مئوية في شهر نيسان .

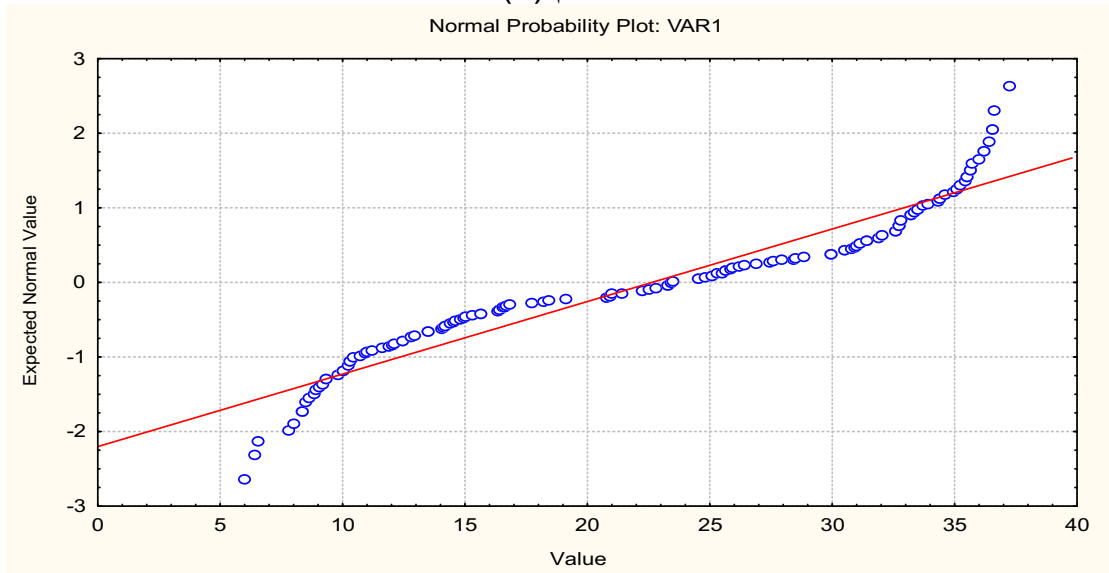
الشكل (١) يمثل الرسم البياني للسلسلة ومن الشكل نلاحظ ان هناك طبيعة دورية للسلسلة حيث تعيد نفسها كل (١٢) شهر تقريبا . ومن ملاحظة دالة الارتباط الذاتي في الشكل رقم (٢) نجد ان السلسلة متربطة ولا تتبع التوزيع الطبيعي كما في الشكل رقم (٣) (١) شكل رقم (١)



شكل رقم
(٢)



شكل رقم (٣)



لذلك سأعمل على إيجاد نموذج يلائم طبيعة السلسلة الزمنية قيد البحث . سأحاول أولاً إيجاد أفضل نموذج خططي يلائم السلسلة والتي هي نماذج (Box-Jenkins) الخططية وباستخدام البرنامج الجاهز (Statistic) حصلت على نموذج الانحدار الذاتي الأتي AR(9) وبأقل مربع خطأ . M.S.

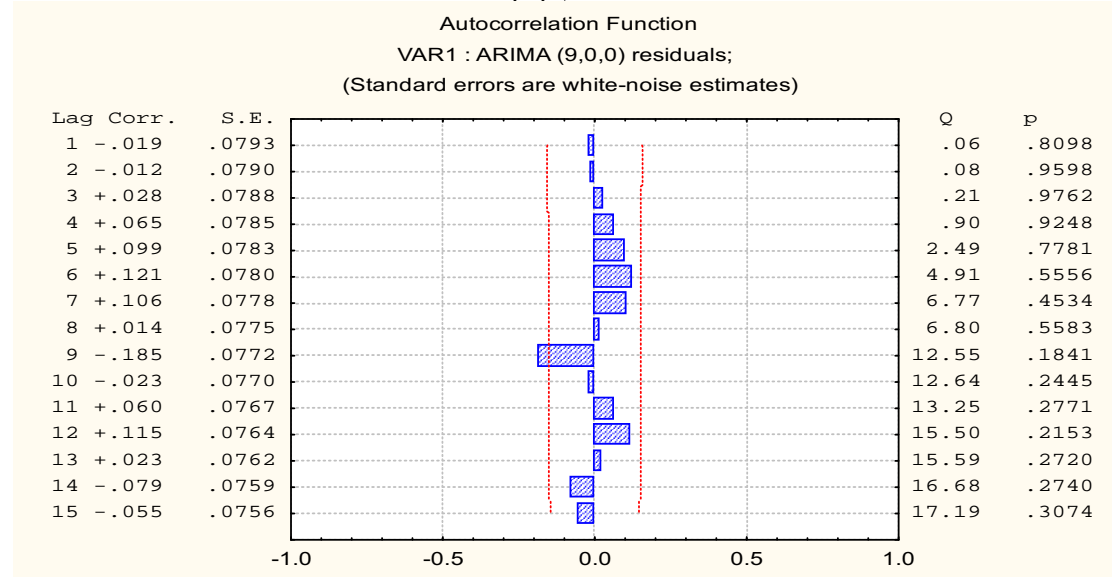
$$X_t = 1.1063X_{t-1} - 0.0079X_{t-2} - 0.1485X_{t-3} - 0.2973X_{t-4} - 0.0264X_{t-5} + 0.07321X_{t-6} - 0.0141X_{t-7} + 0.06698X_{t-8} + 0.15431X_{t-9}$$

$$M.S = 7.7289$$

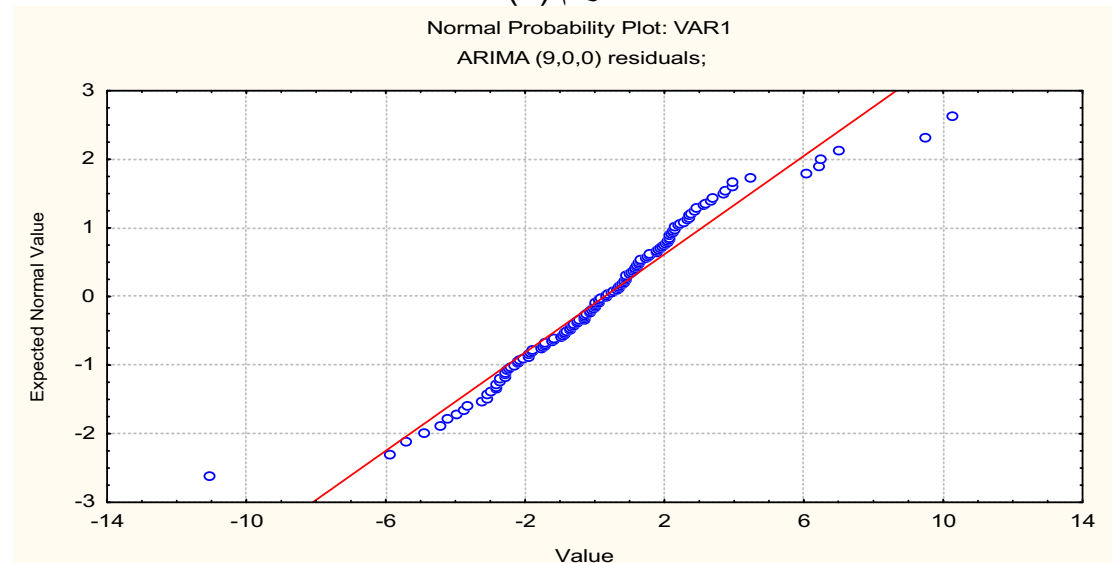
$$S.D = 2.692768$$

من النموذج نلاحظ ان هناك علاقة عكسية بين X_t و X_{t-1} و X_{t-2} لكن هذه العلاقة العكسية تتحول الى علاقة طردية بين X_t و X_{t-3} والشكليين التاليين يمثلان رسم دالة الارتباط الذاتي ورسم التوزيع الطبيعي للباقي ARIMA(9,0,0)

شكل رقم (٤)



شكل رقم (٥)



من الشكلين رقم (٤) و رقم (٥) نلاحظ إن الباقي للنموذج غير مترابطة Uncorrelated لكنها لا تتبع التوزيع الطبيعي وهناك محاولة لتحسين النموذج وذلك بإيجاد نموذج خطى ذو أوساط متحركة (Moving Average Model) وباستخدام البرنامج الجاهز (Statistica) حصلنا على النموذج الآتى

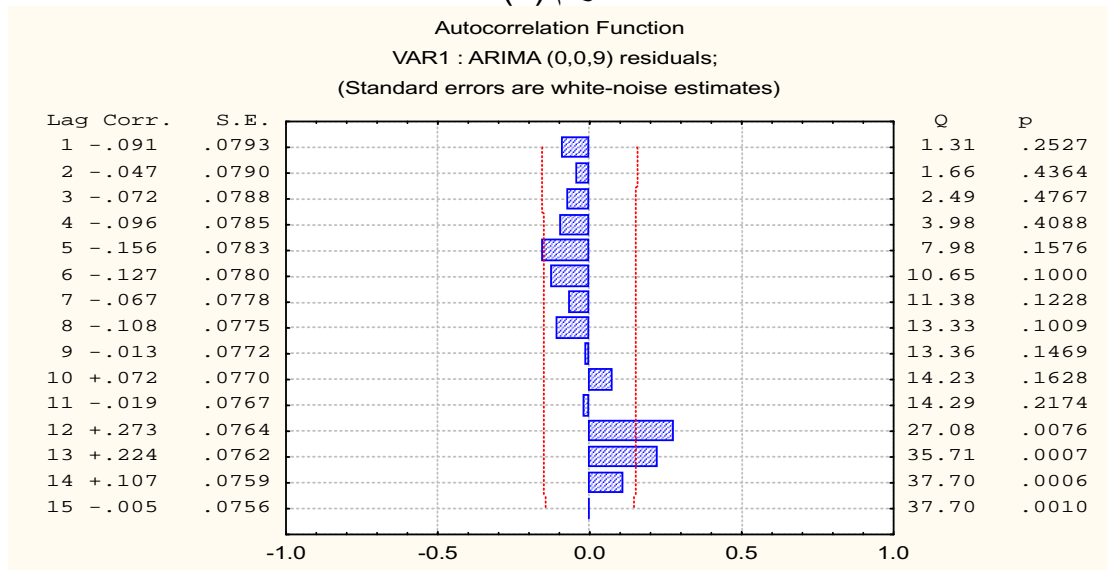
$$X_t = Z_t - 1.468Z_{t-1} - 1.874Z_{t-2} - 2.298Z_{t-3} - 2.372Z_{t-4} - 2.248Z_{t-5} - 1.992Z_{t-6} - 1.474Z_{t-7} - 0.9381Z_{t-8} - 0.3733Z_{t-9}$$

$$M.S = 12.746$$

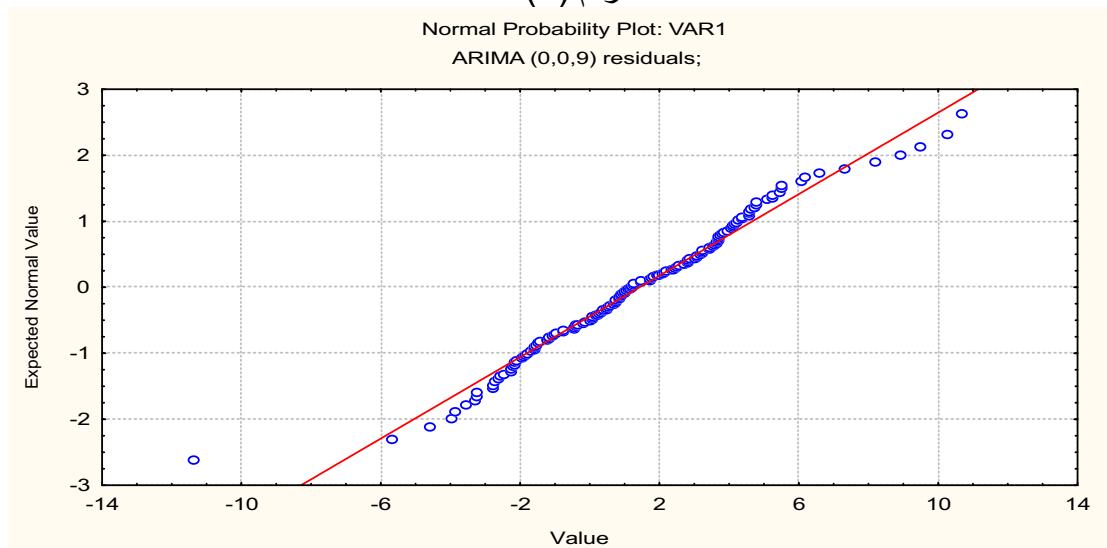
$$S.D = 3.167504$$

حيث نلاحظ ان معدل مربع الخطأ كبير مقارنة مع النموذج السابق إضافة إلى الانحراف المعياري والشكل رقم (٦) يمثل دالة الاتباط الذاتي والشكل رقم (٧) يمثل رسم الطبيعي لباقي النموذج اعلاه حيث نلاحظ ان الباقي للنموذج مترابطة (Correlated) وتبتعد كثيرا عن التوزيع الطبيعي .

شكل رقم (٦)



شكل رقم (٧)



يمكن تحسين النموذج ببناء نموذج (ARMA) لتمثيل السلسلة الزمنية وباستخدام البرنامج الجاهز (Statistica) حصلنا على النموذج الآتي :

$$X_t = 2.7249 X_{t-1} - 2.720 X_{t-2} + 0.99332 X_{t-3} + 1.5677 Z_{t-1} - 0.8237 Z_{t-2}$$

حيث ان

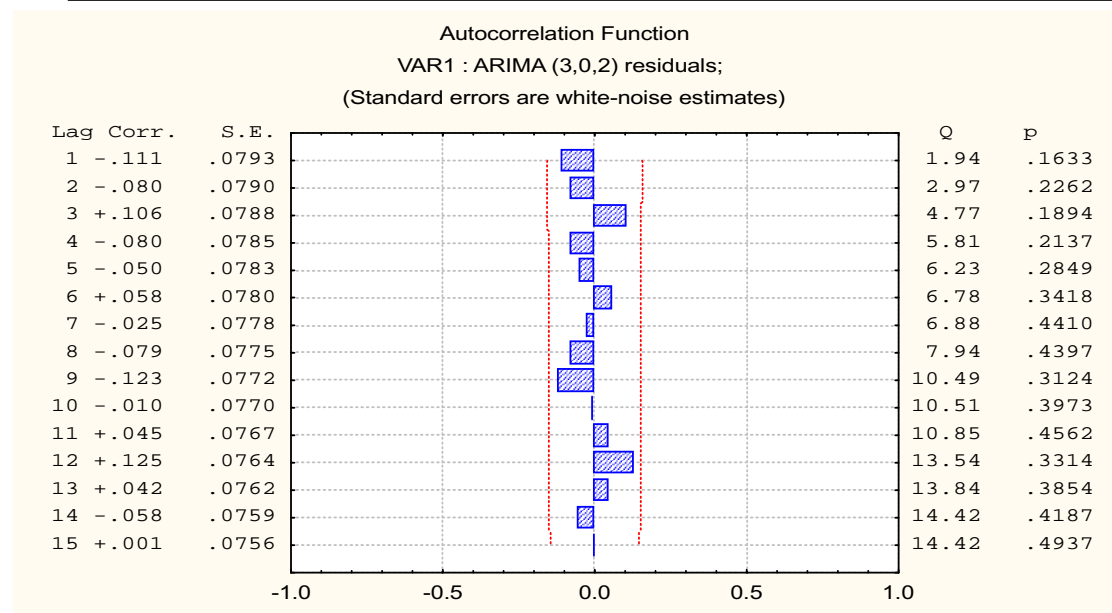
$$M.S = 7.3580$$

$$S.D = 2.658636$$

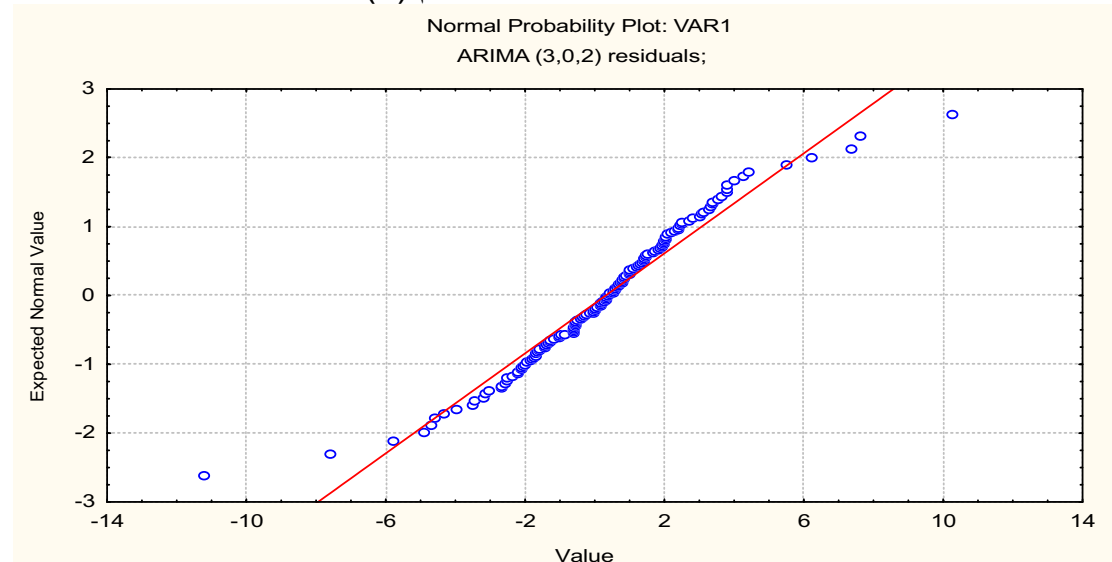
نلاحظ ان هناك علاقة طردية قوية بين X_t و X_{t-1} و علاقة عكسية قوية بين X_t و X_{t-2}

والشكلين التاليين يمثلان رسم دالة الارتباط الذاتي ورسم الطبيعي للنموذج اعلاه

شكل رقم (٨)



شكل رقم (٩)



حيث نلاحظ إن الباقي غير مترابطة وقريبة من التوزيع الطبيعي . ونظرا لطبيعة السلسلة الزمنية لدرجات الحرارة غير الخطية فهناك إمكانية لبناء نموذج غير خطى لهذه السلسلة وباستخدام التحويل حيث تم اخذ الفرق الأول $d=1$. وباستخدام البرنامج الجاهز (Statistica) حصلنا على نموذج الانحدار الذاتي ذو الأوساط المتحركة المدمجة الآتية :-

$$Y_t = 1.5410 Y_{t-1} - 0.6658 Y_{t-2} + 0.1922 Y_{t-3} + 1.5655 Z_{t-1} - 0.7404 Z_{t-2}$$

$$\nabla^d X_t \quad Y_t =$$

$$d=1$$

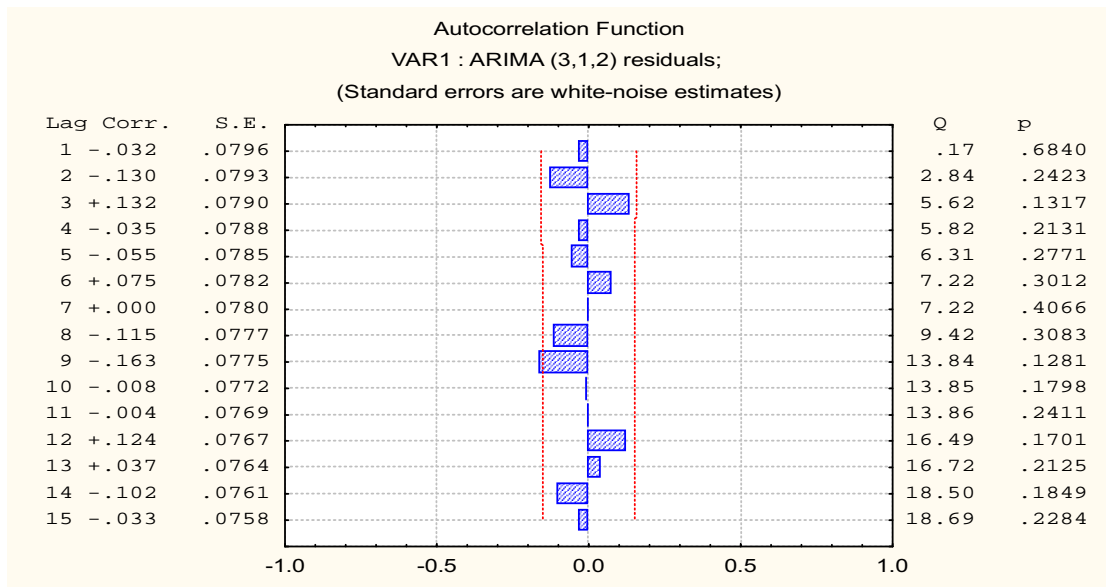
$$\nabla = (1 - B)$$

$$M.S=6.1092$$

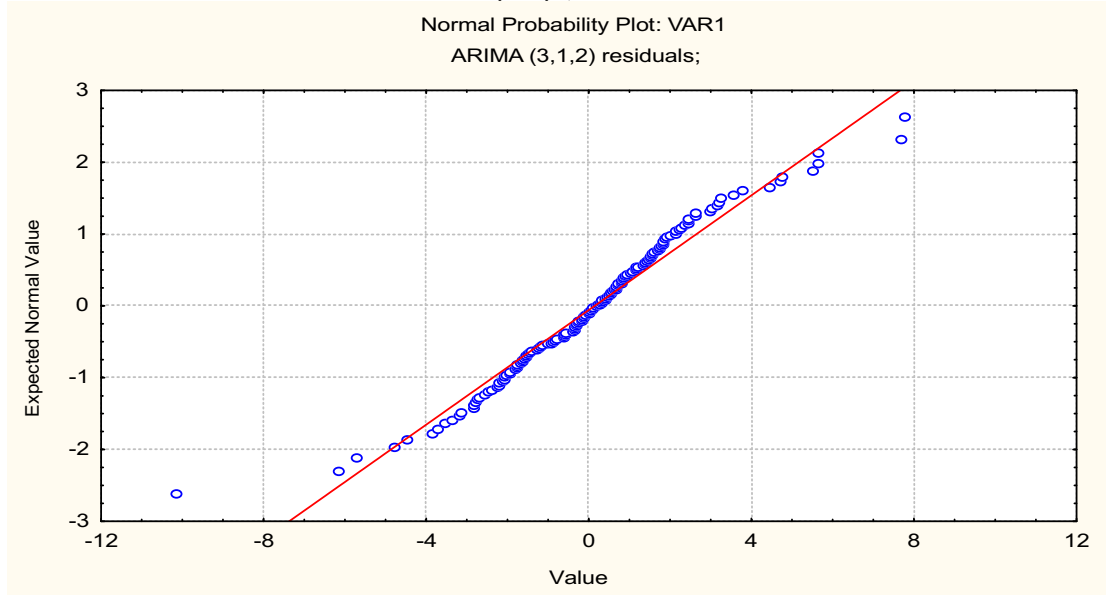
$$S.D=2.434981$$

ومن ملاحظة الشكل رقم (١٠) الذي يمثل رسم دالة الارتباط الذاتي للنموذج نلاحظ إن الباقي للنموذج المقترن تكون غير مترابطة وقريبة من التوزيع الطبيعي .

شكل رقم (١٠)



شكل رقم (١١)



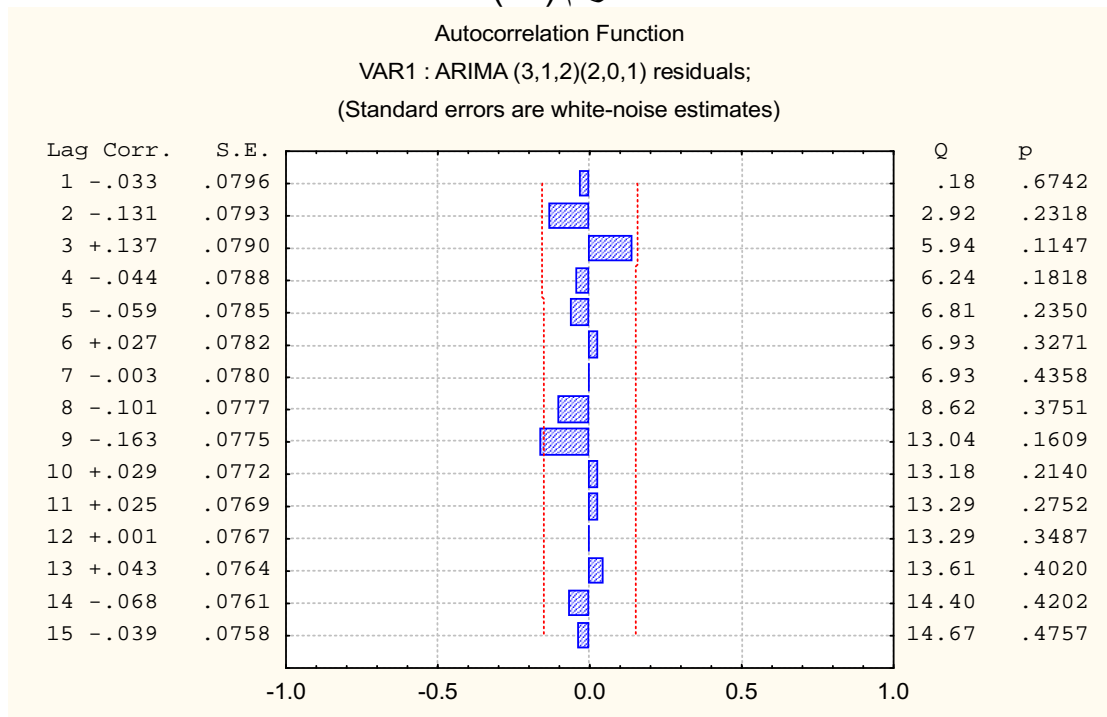
بعد عمليات الاختبار والمقارنة للنماذج تم اعتماد النموذج الآتي ويمثل نموذج ARIMA(3,1,2)(2,0,1) وذلك باستخدام اللوغاريتم الطبيعي واخذ الفروقات للبيانات حيث نلاحظ تحسن واضح في سلوك دالة الارتباط الذاتي للنموذج المقترن في الشكل رقم (١٢) وكذلك رسم الطبيعية للنموذج المقترن نلاحظ إن النموذج قريب جداً من التوزيع الطبيعي . ونعبر عن معادلة النموذج بالصيغة الآتية

$$Y_t = 1.5292 Y_{t-1} - 0.6477 Y_{t-2} + 0.2005 Y_{t-3} + 1.5519 Z_{t-1} - 0.7456 Z_{t-2} - 0.1280 + 0.15603 - 0.2642$$

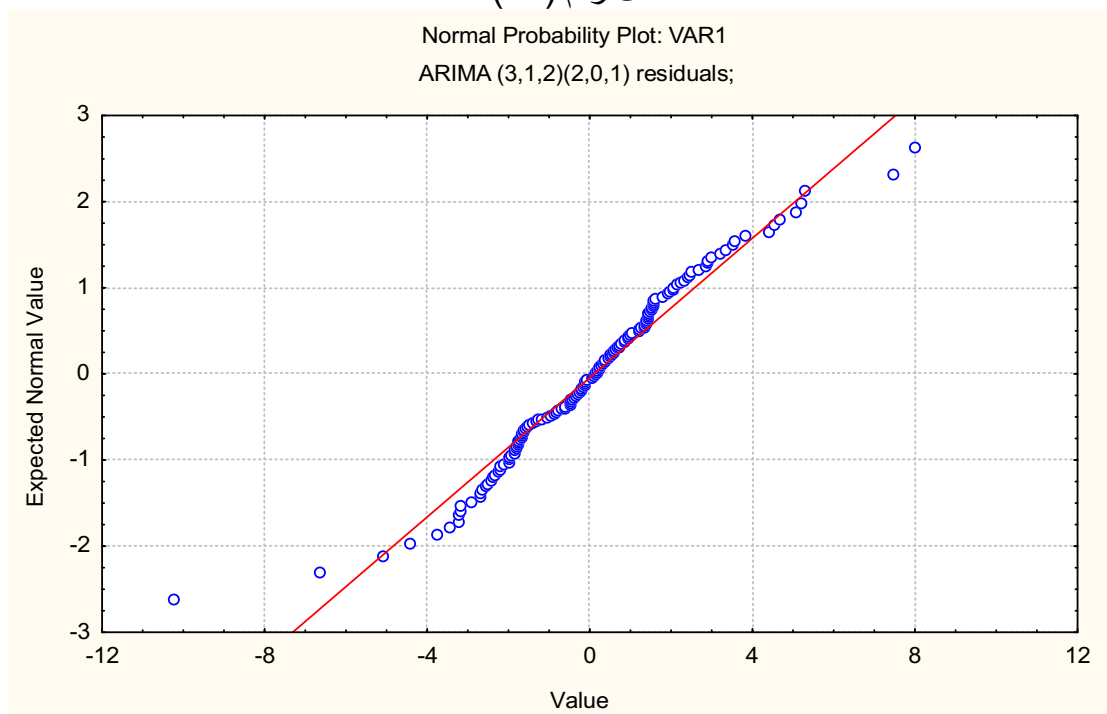
M.S=6.0359

S.D=2.397919

شكل رقم (١٢)



شكل رقم (١٣)



ولأجل اختيار أفضل نموذج يمثل السلسلة ندرج أدناه جدول يمثل مقارنة بين النماذج المقترحة وباستخدام الوسائل الإحصائية مربع الخطأ والانحراف المعياري وكذلك الارتباط للبواقي .

والجدول الآتي يمثل مقارنة بين النماذج التي حصلنا عليها
جدول رقم (١)

| Mode Stat | AR(9) | MA(9) | ARMA (3,0,2) | ARIMA (3,1,2) | ARIMA (3,1,2)(2,0,1) |
|------------------|----------|----------|-----------------|------------------|-------------------------|
| M.S | 7.7289 | 12.746 | 7.3580 | 6.1092 | 6.0359 |
| S.D | 2.692768 | 3.167504 | 2.658636 | 2.434981 | 2.397919 |
| Correlation % | 100 % | 95% | 100 % | 100 % | 100 % |

حيث نلاحظ تفوق نموذج ARIMA على بقية النماذج المقترحة
وهناك اختبار آخر هو قابلية النموذج على التنبؤ والجداول الآتية تمثل القيم المتباينة بها
بالنماذج المقترحة أنسنة الذكر وللفترة من ١٩٩٤-١٩٩٧ .

جدول رقم (٢) يمثل القيم المتباينة بها لسنة ١٩٩٤

| No | Real data | AR(9) | MA(9) | ARMA (3,0,2) | ARIMA (3,1,2) | ARIMA (3,1,2)(2,0,1) |
|----|-----------|-------|-------|-----------------|------------------|-------------------------|
| ١ | ١١.٨ | ٩.٨ | ٨.٨ | ٩.٨ | ٩.٣ | ٩.٦ |
| ٢ | ١٢.٢ | ١٠.٣ | ٦.٢ | ١٠.٩ | ١٠.٥ | ١١.٢ |
| ٣ | ١٧.٧ | ١٥ | ٥ | ١٥.٣ | ١٤.٨ | ١٥.٥ |
| ٤ | ٢٥.٢ | ٢١.٢ | ٤.٢ | ٢١.٨ | ٢١.٢ | ٢١.٨ |
| ٥ | ٢٩.٤ | ٢٧.٥ | ٤.٣ | ٢٨.٦ | ٢٨ | ٢٨.١ |
| ٦ | ٣٣.٣ | ٣٢.٨ | ٤.٩ | ٣٣.٨ | ٣٣.٥ | ٣٣.٥ |
| ٧ | ٣٥.٤ | ٣٥.١ | ٤.٣ | ٣٦ | ٣٦ | ٣٥.٩ |
| ٨ | ٣٤.٦ | ٣٣.٧ | ٣.٣ | ٣٤.٦ | ٣٥ | ٣٥.١ |
| ٩ | ٣٢.٤ | ٢٩.٨ | ١.٧ | ٢٩.٨ | ٣٠.٨ | ٣٠.٩ |
| ١٠ | ٢٥.٨ | ٢٣.٩ | ٠ | ٢٣.١ | ٢٤.٤ | ٢٤.٦ |
| ١١ | ١٥.٦ | ١٧.٦ | ٠ | ١٦ | ١٧.٦ | ١٧.٤ |
| ١٢ | ٨.١ | ١٢.٩ | ٠ | ١٠.٥ | ١٢.١ | ١٢.٦ |

جدول رقم (٣)
يمثل القيم المتباينة بها لسنة ١٩٩٥

| No | Real data | AR(9) | MA(9) | ARMA | ARIMA | ARIMA |
|----|-----------|-------|-------|------|-------|-------|
|----|-----------|-------|-------|------|-------|-------|

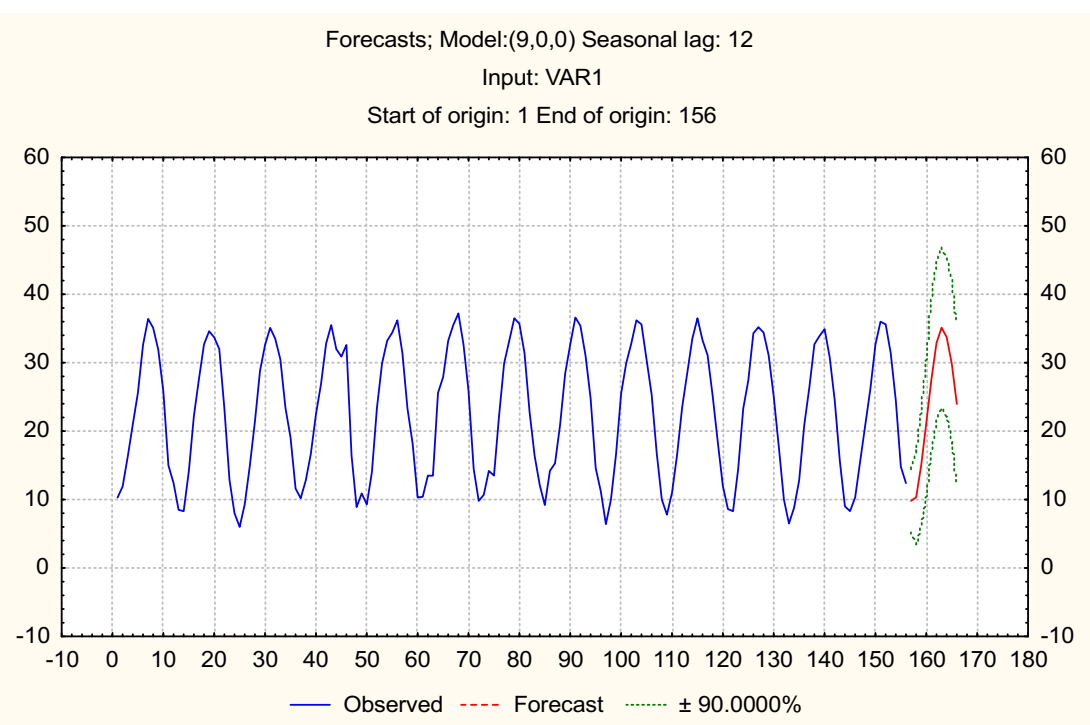
| | | | | (3,0,2) | (3,1,2) | (3,1,2)(2,0,1) |
|----|------|------|---|---------|---------|----------------|
| ١ | ١٠.٦ | ١٠.٧ | . | ٨ | ٩.٥ | ١٠.٤ |
| ٢ | ١٢.٨ | ١١.٦ | . | ٩.٢ | ١٠.٤ | ١١.٦ |
| ٣ | ١٦.٩ | ١٥.٥ | . | ١٣.٦ | ١٤.٦ | ١٥.٩ |
| ٤ | ٢١.٣ | ٢١.١ | . | ٢٠.١ | ٢٠.٩ | ٢١.٨ |
| ٥ | ٣٠ | ٢٦.٩ | . | ٢٦.٩ | ٢٧.٧ | ٢٨.١ |
| ٦ | ٣٤.١ | ٣١.٥ | . | ٣٢.١ | ٣٣.٢ | ٣٣.٤ |
| ٧ | ٣٤.٩ | ٣٣.٦ | . | ٣٤.٣ | ٣٥.٩ | ٣٥.٩ |
| ٨ | ٣٥.٣ | ٣٢.٨ | . | ٣٢.٨ | ٣٥.١ | ٣٥ |
| ٩ | ٣١ | ٢٩.٢ | . | ٢٨.١ | ٣١ | ٣٠.٩ |
| ١٠ | ٢٤.٤ | ٢٤ | . | ٢١.٣ | ٢٤.٧ | ٢٤.٨ |
| ١١ | ١٦.١ | ١٨.٤ | . | ١٤.٢ | ١٧.٩ | ١٨ |
| ١٢ | ١٠.٧ | ١٤ | . | ٨.٨ | ١٢.٤ | ١٣.٣ |

جدول رقم (٣)
يمثل القيم المتنبأ بها لسنة ١٩٩٦

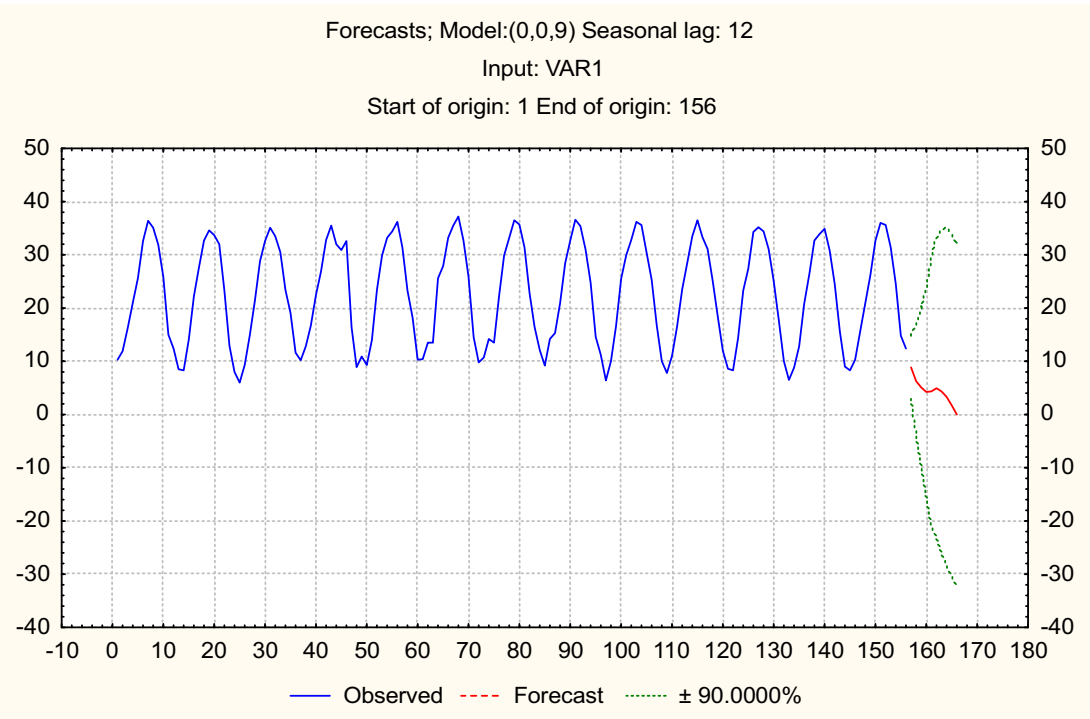
| No | Real data | AR(9) | MA(9) | ARMA (3,0,2) | ARIMA (3,1,2) | ARIMA (3,1,2)(2,0,1) |
|----|-----------|-------|-------|-----------------|------------------|-------------------------|
| ١ | ١٠.٧ | ١٢ | . | ٦.٣٨ | ٩.٦ | ١٠.٨ |
| ٢ | ١٣.٥ | ١٢.٧ | . | ٧.٥٩ | ١٠.٣ | ١١.٨ |
| ٣ | ١٥ | ١٦ | . | ١٢ | ١٤.٣ | ١٥.٨ |
| ٤ | ٢١.٣ | ٢١ | . | ١٨.٥ | ٢٠.٦ | ٢١.٧ |
| ٥ | ٣٠.٩ | ٢٦.٢ | . | ٢٥.٣ | ٢٧.٤ | ٢٨.١ |
| ٦ | ٣٣.٥ | ٣٠.٤ | . | ٣٠.٥ | ٣٣ | ٣٣.١ |
| ٧ | ٣٧.٩ | ٣٢.٥ | . | ٣٢.٧ | ٣٥.٨ | ٣٥.٦ |
| ٨ | ٣٦.٦ | ٣١.٨ | . | ٣١.٢ | ٣٥.٢ | ٣٤.٨ |
| ٩ | ٣١.٤ | ٢٨.٧ | . | ٢٦.٤ | ٣١.٢ | ٣٠.٩ |
| ١٠ | ٢٤.١ | ٢٤.٠٨ | . | ١٩.٦ | ٢٥ | ٢٥ |
| ١١ | ١٧.٧ | ١٩.٠٧ | . | ١٢.٦ | ١٨.٢ | ١٨.٧ |
| ١٢ | ١٤.٢ | ١٥.٠٧ | . | ٧.٢ | ١٢.٦ | ١٣.٦ |

الإشكال الآتية تمثل مقارنة بين القيم الفعلية والقيم المتنبأ بها باستخدام النماذج المقترنة

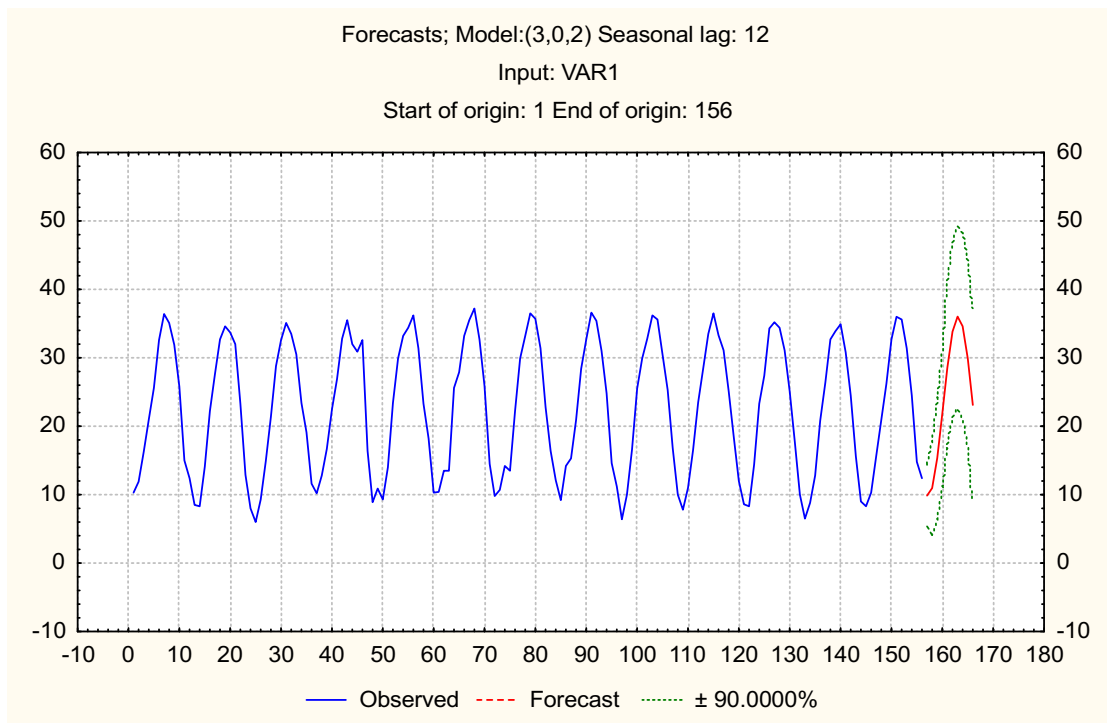
شكل رقم (١٤)



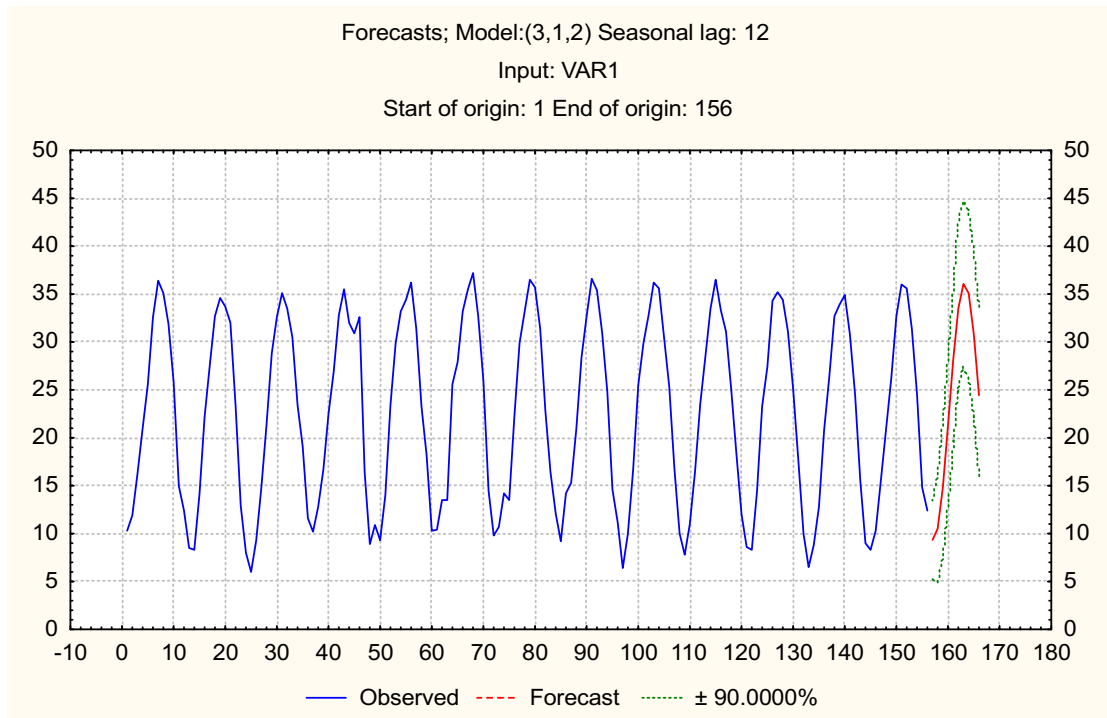
شكل رقم (١٥)



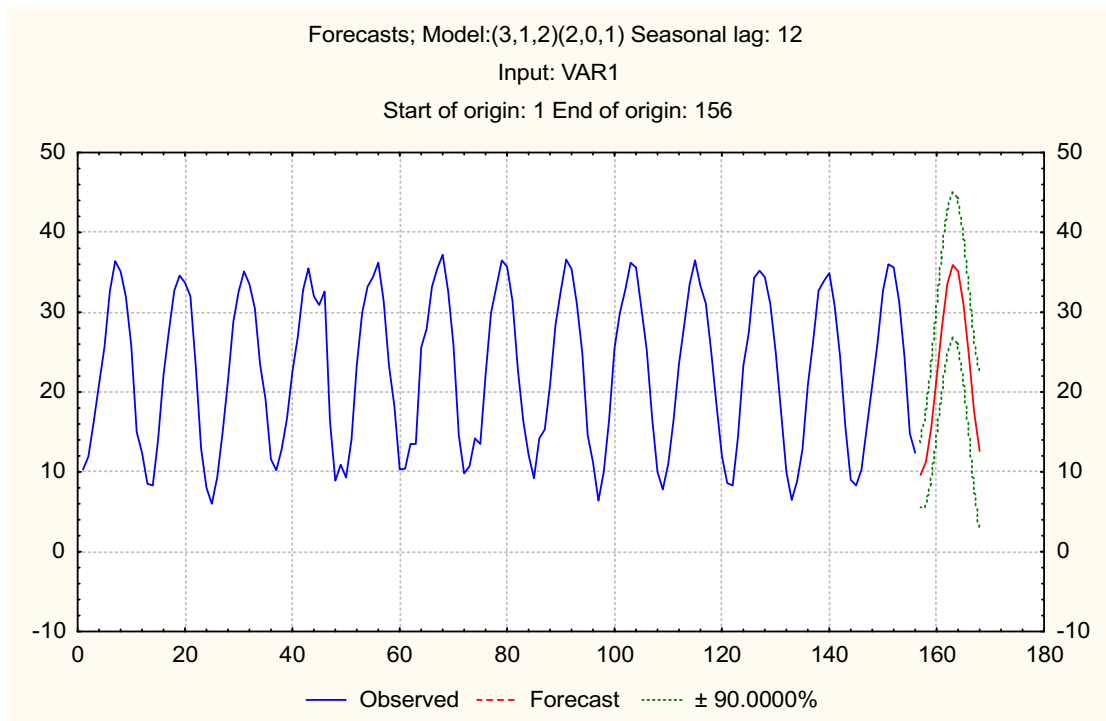
شكل رقم (١٦)



شكل رقم (١٧)



شكل رقم (١٨)



الاستنتاجات :

تمت دراسة السلسلة الزمنية للمعدلات الشهرية لدرجات الحرارة بمدينة سامراء وتبين من رسم السلسلة إن هناك طبيعة دورية للسلسلة حيث تعيد نفسها كل (١٢) شهر تقريباً ولا تتبع التوزيع الطبيعي وأفضل نموذج يمثل السلسلة هو نموذج الانحدار الذاتي ذو الأوساط المتحركة المندمج (Auto Regressive integrated Moving Average) وهذا واضح من خلال جدول المقارنة بين النماذج المقترحة وقابليتها على التنبؤ .

المصادر:

- العبيدي ، عبد الغفور جاسم (١٩٨٩) "تحليل ونمذجة السلسلة الزمنية لدرجات الحرارة في مدينة الموصل" رسالة ماجستير ، قسم الرياضيات ، كلية العلوم ، جامعة الموصل .
- الانواع الجوية العراقية ، قسم المناخ .

- 3- Box, G.E.P.Jenkins G.M.(1976)"Time series analysis forecasting and control " San Francisco, Holden-day.
- 4- Hamilton, James D.(1994) " Time series analysis " , published by princeton university press ,U.S.A.
- 5- Tong. H. (1983) "Threshold model in Non-Linear Time series analysis ",lecture notes in statistic No.21, New York.

- 6- T. Suvva Rao, M.M. Gabr (1984) "An Introduction to bispectral Analysis and Bilinear Time series models" springer-rerhag, New York, Berlin Heidel berg Tokyo.

This document was created with Win2PDF available at <http://www.win2pdf.com>.
The unregistered version of Win2PDF is for evaluation or non-commercial use only.
This page will not be added after purchasing Win2PDF.